

**НАХОДКА КРАСНОГО ВОЛКА  
(CARNIVORA, CANIDAE, *Cuon alpinus* Pallas, 1811)  
В ПОЗДНЕМ НЕОПЛЕЙСТОЦЕНЕ УРАЛА**

© 2015 г. Д. О. Гимранов, П. А. Косинцев, член-корреспондент РАН Н. Г. Смирнов

Поступило 27.05.2015 г.

Морфотипическое и морфометрическое исследования находки зуба M2 волка из позднеплейстоценовых отложений пещеры Игнatieвская (Южный Урал) позволили сделать вывод о принадлежности этого зуба красному волку (*Cuon alpinus* Pallas, 1811). Эта находка является первым достоверным свидетельством обитания красного волка на Урале. Время обитания *Cuon alpinus* было определено в процессе анализа радиоуглеродных дат и сопутствующей териофауны. Эти исследования позволили датировать находку зуба первой половиной позднего неоплейстоцена и отнести к морским изотопным стадиям МИС 4–МИС 3.

DOI: 10.7868/S0869565215290290

Красный волк (*Cuon alpinus* Pallas, 1811) – единственный представитель своего рода в семействе псовых. Его ископаемые остатки известны в Евразии со среднего плейстоцена [1]. В позднем неоплейстоцене Северной Евразии остатки красных волков обнаружены в ряде местонахождений Западной Европы [2], Кавказа [3], Алтая, Восточных Саян [4] и Приморья [5]. Современный ареал красного волка охватывает лесные и горные области Восточной Азии от Алтая и Приморья на севере до Индостана и Индокитая на юге [1]. В настоящее время на Урале красный волк не обитает. В.И. Громов [6] из позднеплейстоценовых отложений пещеры Усть-Катавская (Южный Урал) описал нижние челюсти представителя Canidae, как *Canis (Canis) sp.*, и отметил их сходство с красным волком. Однако промеры и фотографии челюстей в работе не приведены. К настоящему времени большая часть коллекции из Усть-Катавской пещеры, в том числе остатки волков, утрачена.

При изучении коллекции костных остатков из раскопа 5 Игнatieвской пещеры, расположенной в горной части Южного Урала (54°53' с.ш. и 57°46' в.д.) [7], мы нашли второй верхний коренной зуб (M2) представителя семейства Canidae, строение коронки которого значительно отличалось от строения этого зуба у серого волка (*Canis lupus*). Зуб – целый, на поверхности коронки сле-

ды стирания практически отсутствуют. Для определения таксономической принадлежности мы провели его сравнение с M2 серого и красного волков по ряду морфометрических и морфотипических показателей. Использовали рецентные (16 экз.) и позднеплейстоценовые (13 экз.) выборки *Canis lupus* со Среднего и Южного Урала и современную выборку *Cuon alpinus* из разных областей Азии (17 экз.), хранящиеся в Зоологическом институте РАН, Зоологическом музее МГУ и музее Института экологии растений и животных УрО РАН.

Измеряли наибольшую ширину (В) и наибольшую длину коронки (L) [8]. При выделении и описании морфотипов M2 использовали методики, описанные ранее [9–12]. Изучали только зубы с коронкой, не затронутой стиранием.

В табл. 1 приведены размеры M2 серых и красных волков. Средние показатели ширины и длины зуба у современных и ископаемых *Canis lupus* имеют практически одинаковые значения. Размеры зуба у *Cuon alpinus* значительно меньше. Крайние значения длины и ширины M2 у изучаемых видов волков не перекрываются. Зуб, найденный в Игнatieвской пещере, по размерам попадает в группу красных волков.

Строение коронки M2 *Canis lupus* и домашней собаки (*Canis familiaris*) значительно отличается от строения коронки красного волка (рис. 1). У первых хорошо развиты главные бугры – паракон, метакон и протокон. В строении коронки M2 *Cuon alpinus* выделено 4 морфотипа. Морфотип А1 характеризуется упрощенной формой строения коронки. Отсутствует талонный бас-

**Таблица 1.** Размеры и распределение морфотипов современного и ископаемого M2 у *Canis lupus* и *Cuon alpinus*

Виды	<i>Canis lupus</i>		<i>Canis lupus</i>		<i>Cuon alpinus</i>		<i>Cuon alpinus</i>	
Геологический возраст	Современность		Поздний плейстоцен		Современность		Поздний плейстоцен	
Промеры	B	L	B	L	B	L	B	L
N	16	16	13	13	17	17	1	1
M	13.9	9.2	13.8	9.2	8.4	5.4	7.7	5.5
Min	12.7	8.4	11.8	7.7	5.6	4.4	—	—
Max	15.7	10.9	14.9	10	9.4	6.1	—	—
Std. Dev.	0.7	0.7	0.9	0.6	0.9	0.4	—	—
Морфотипы	A1	0	0	0	5	0	0	0
	A2	0	0	0	4	0	0	0
	A3	0	0	0	0	1	0	1
	B1	0	0	0	6	0	0	0
	B2	0	0	0	2	0	0	0

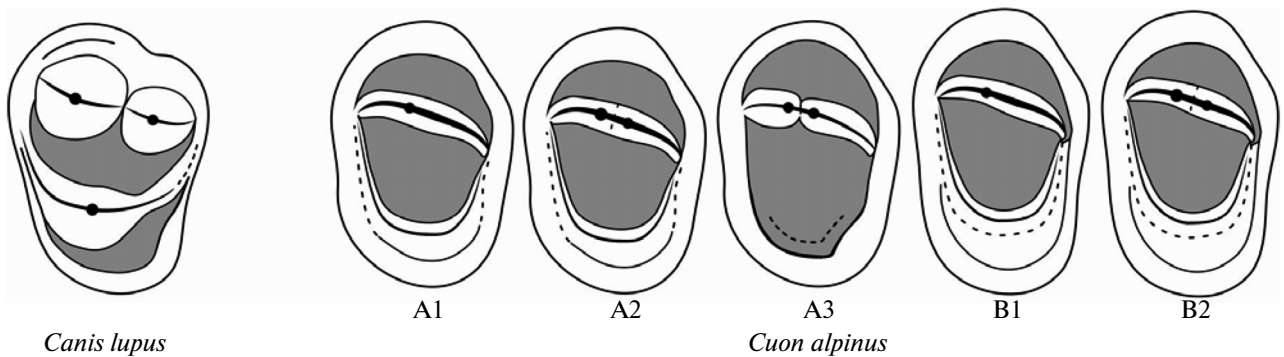
B – наибольшая ширина, L – наибольшая длина коронки зуба, N – число промеров, “—” – данные отсутствуют.

сейн, протоконный гребень образует лингвальный край коронки. Вершина паракона выражена слабо, нечетко, паракон и метакон образуют гребень. Морфотип A2 отличается наличием слабо выраженной, небольшой вершины метакона. Морфотипы группы В характеризуются появлением талонного бассейна между протоконным гребнем и лингвальным краем коронки зуба. У обоих морфотипов имеется слабо выраженная вершина паракона. У морфотипа B2 имеется слабо выраженная вершина метакона. Наличие массивных, хорошо выраженных паракона и метакона является надежным признаком, отличающим зуб серого волка и домашней собаки от зуба красного волка (рис. 1).

Зуб M2, найденный в Игнatieвской пещере, имеет слабо выраженные вершины паракона и метакона, как и у красного волка. Строение коронки ближе всего к морфотипу A2, но отличается

от него полным отсутствием протоконного гребня. На основании этого признака данный зуб отнесен к новому морфотипу A3 (рис. 1). Особенности строения коронки и размеры зуба M2 из Игнatieвской пещеры указывают на то, что он принадлежит *Cuon alpinus*. Эта находка представляет собой первое достоверное свидетельство обитания *Cuon alpinus* на Урале в позднем неоплейстоцене. Игнatieвская пещера является самым северным местонахождением остатков красного волка в Евразии [13].

Время обитания красного волка на Урале можно определить на основании радиоуглеродных дат и сопутствующей териофауны. Зуб найден в верхнем горизонте слоя 8 (глубина 175–195 см) раскопа 5. По костям большого пещерного медведя из этого слоя получена радиоуглеродная дата – более 27500 лет назад, ИЭРЖ-21 [7]. В состав фауны из верхнего горизонта слоя 8 входят: *Ochotona pu-*



**Рис. 1.** Варианты строения коронок M2 серого (*Canis lupus*) и красного (*Cuon alpinus*) волков. A1, A2, A3, B1 и B3 – морфотипы зубов.

*silla*, *Lepus timidus*, *Marmota bobak*, *Spermophilus major*, *Apodemus flavicollis*, *Apodemus* ex gr. *sylvaticus-agrarius*, *Cricetulus migratorius*, *Clethrionomys rufocanus*, *Cl.* ex gr. *rutilus-glareolus*, *Lagurus lagurus*, *Eolagurus luteus*, *Dicrostonyx gulielmi*, *Arvicola terrestris*, *Microtus gregalis*, *M. oeconomus*, *M. agrestis*, *Canis lupus*, *Vulpes lagopus*, *V. vulpes*, *Ursus spelaeus*, *Mus-tela erminea*, *Crocota crocuta*, *Mammuthus primigenius*, *Equus ferus*, *Coelodonta antiquitatis*, *Cervus elaphus*, *Rangifer tarandus*, *Bison priscus* [7]. Как видно из состава фауны, в которой сочетаются виды разных современных зон с вымирающими в конце плейстоцена мамонтом, пещерным медведем, шерстистым носорогом, первобытным бизоном, — это мамонтовый териокомплекс позднего неоплейстоцена. По долям остатков доминируют виды открытых ландшафтов — степного сурка, копытного лемминга, узкочерепной полевки и степной пеструшки. Наличие таких видов, как желтогорлая мышь и лесные полевки, указывает на некоторое присутствие древесно-кустарниковой растительности. Такому заключению не противоречат результаты палинологического анализа. В пыльцевых спектрах травы составляют 90%, среди которых преобладают злаки и сложноцветные. Пыльцы деревьев и кустарников существенно меньше — 10% [7].

Фауна, в состав которой входил красный волк, относится к мамонтовому териокомплексу позднего неоплейстоцена. Более точно ее дату можно определить по составу фауны и радиоуглеродной дате. В состав фауны входит большой пещерный медведь (*Ursus spelaeus*), который вымирает в конце стадии МИС 3 [14]. Учитывая это и радиоуглеродную дату, фауну с находкой красного волка можно в широком интервале датировать первой половиной позднего неоплейстоцена и отнести к морским изотопным стадиям МИС 4—МИС 3.

Авторы благодарят за помощь в работе сотрудников Зоологического музея МГУ, сотрудников лаборатории териологии Зоологического инсти-

тута РАН и заведующего Зоомузеем ИЭРиЖ УрО РАН Н.Г. Ерохина.

Работа выполнена при поддержке РФФИ (гранты 15–04–03882, 14–04–31231, 14–04–00120).

#### СПИСОК ЛИТЕРАТУРЫ

1. Аристов А.А., Барышников Г.Ф. Млекопитающие фауны России и сопредельных территорий. Хищные и ластоногие. СПб.: Зоол. ин-т, 2001. 560 с.
2. Sommer R.S., Benecke N. // Mammal. Biol. 2005. V. 70. P. 227–241.
3. Baryshnikov G.F. // Rus. J. Theriol. 2012. V. 11. № 2. P. 77–120.
4. Оводов Н.Д., Мартынович Н.В. Животный мир горных территорий. Сб. материалов докл. Междунар. конф. М.: Т-во науч. изданий КМК, 2009. С. 389–393.
5. Оводов Н.Д. // Тр. Биол. ин-та СО АН СССР. 1977. В. 31. С. 157–177.
6. Громов В.И. // Тр. ин-та геол. наук. 1948. В. 64. № 17. С. 1–520.
7. Смирнов Н.Г., Большаков В.Н., Косинцев П.А., Панова Н.К., Коробейников Ю.И., Ольшванг В.Н., Ерохин Н.Г., Быкова Г.В. Историческая экология животных гор Южного Урала. Свердловск: УрО АН СССР, 1990. 244 с.
8. Driesch von den A. // Peabody Mus. Bull. 1976. V. 1. P. 1–136.
9. Hershkovitz P. Basic Crown Patterns and Cusp Homologies of Mammalian Teeth. In: Dental Morphology and Evolution. Chicago: Univ. Chicago Press, 1971. P. 95–150.
10. Wolsan M. // Acta theriol. 1989. V. 34. P. 545–593.
11. Szuma E. // Ann. Zool. Fenn. 2011. V. 48. P. 191–213.
12. Гимранов Д.О., Косинцев П.А. // ДАН. 2012. Т. 443. № 1. С. 130–131.
13. Sommer R., Benecke N. // Mammal. Biol. 2005. V. 70. P. 227–241.
14. Pacher M., Stuart A.J. // Boreas. 2008. V. 38. P. 189–206.